

10 PŘÍLOHY

Příloha č.1: Zkrácený testovací arch

Formulář k vyšetření skoliotických pacientů

Jméno a příjmení:

datum narození:

diagnóza: (hlavní i vedlejší)

výška:

váha:

RA: skolióza / jiné deformity, dědičná onemocnění, choroby rodičů, sourozenců

OA: úrazy/operace:

další onemocnění:

kongenitální anomálie:

bolesti:

datum záchytu skoliózy:

primární křivka:

Adamsův test – gibus ano/ne

kompensovaná/nekompensovaná

rehabilitace

korzetoterapie

Sportovní anamnéza

Délka DKK: anatomická (trochanter-mall.lat.)

funkční (SIAS-mall.med.)

Aspekce (držení těla) - zepředu, zezadu, z boku

Funkční vyšetření páteře:

Thomayer

Stibor (C7/L5)

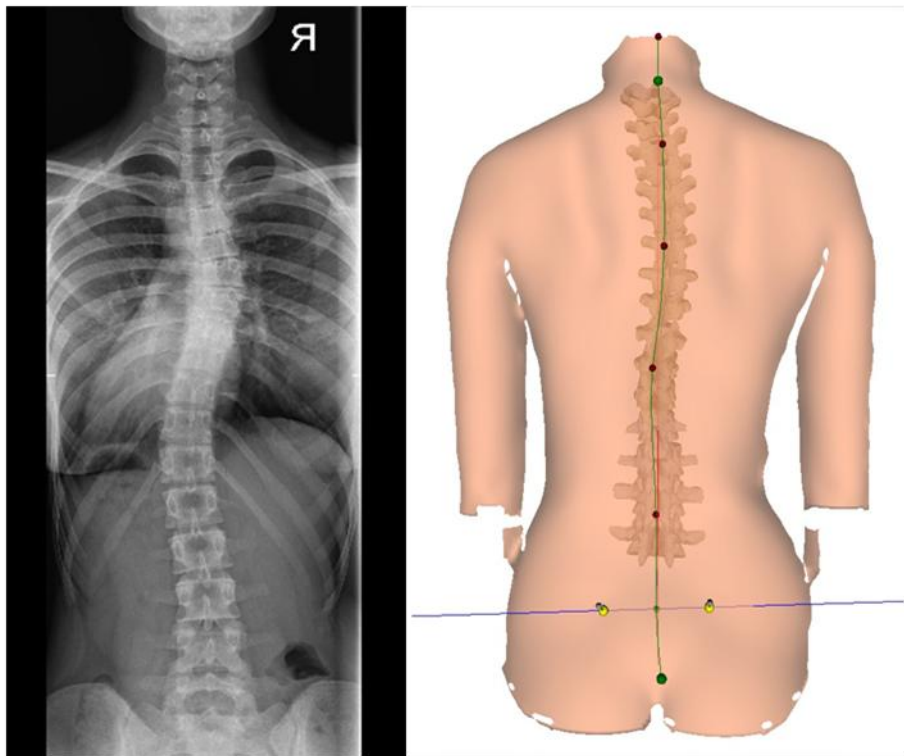
Schober (L₅, kran. 5/10cm)

Lateroflexe: P/L

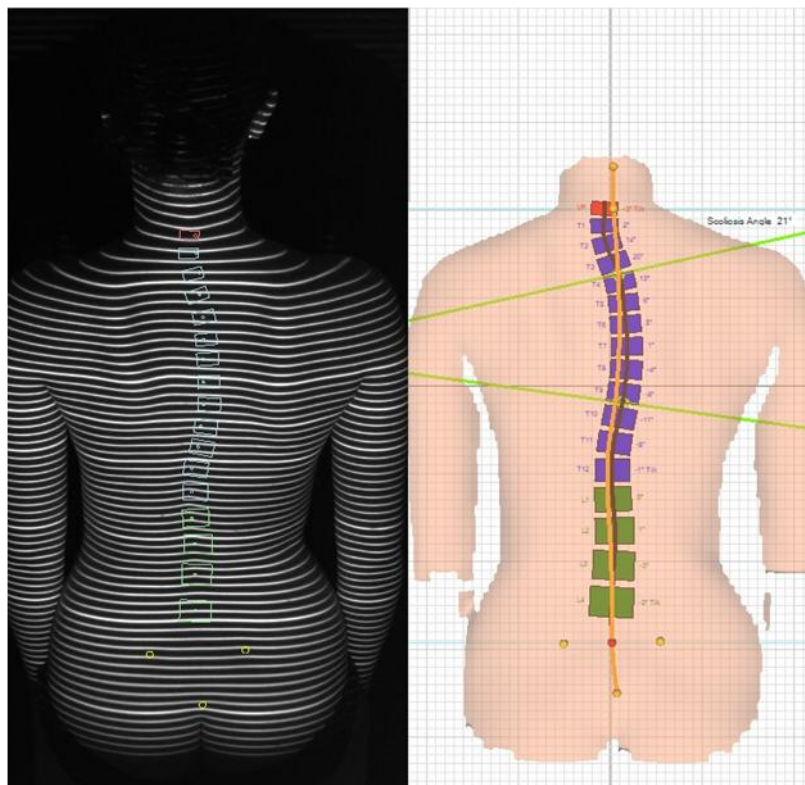
Vyšetření hypermobility (Beighton score) - pro přehlednost záznamu byla vyhotovena tabulka

Beighton score	pravá	levá
pasivní dorsiflexe a hyperextenze MCP kloubu více než 90°		
pasivní apozice a flexe palce k ventrální ploše předloktí		
pasivní hyperextenze lokte nad 10°		
pasivní hyperextenze kolene nad 10°		
aktivní flexe trupu s plně extendovanými kolenními klouby – dotyk podlahy plnými dlaněmi		
CELKEM	/ 9	

Příloha č.2: RTG snímek a snímky z DIERS Formetric III 4D pacientky V.R.



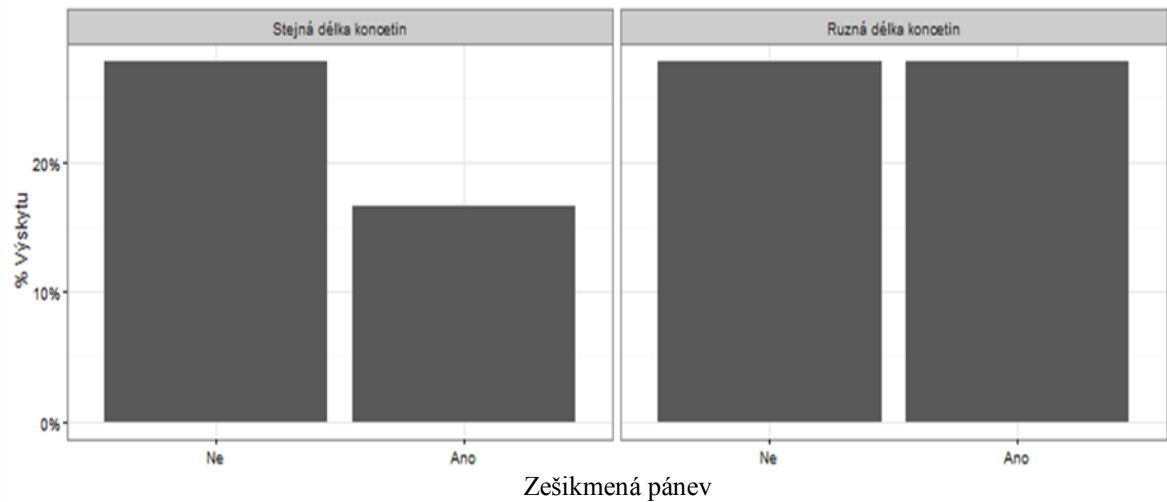
Obr. 17. Snímek z RTG a DIERS Formetric III 4D pacientky V.R.



Obr. 18. Snímky z DIERS Formetric III 4D pacientky V.R.

Příloha č.3: Zešikmení pánve v závislosti na rozdílu v anatomické délce DKK

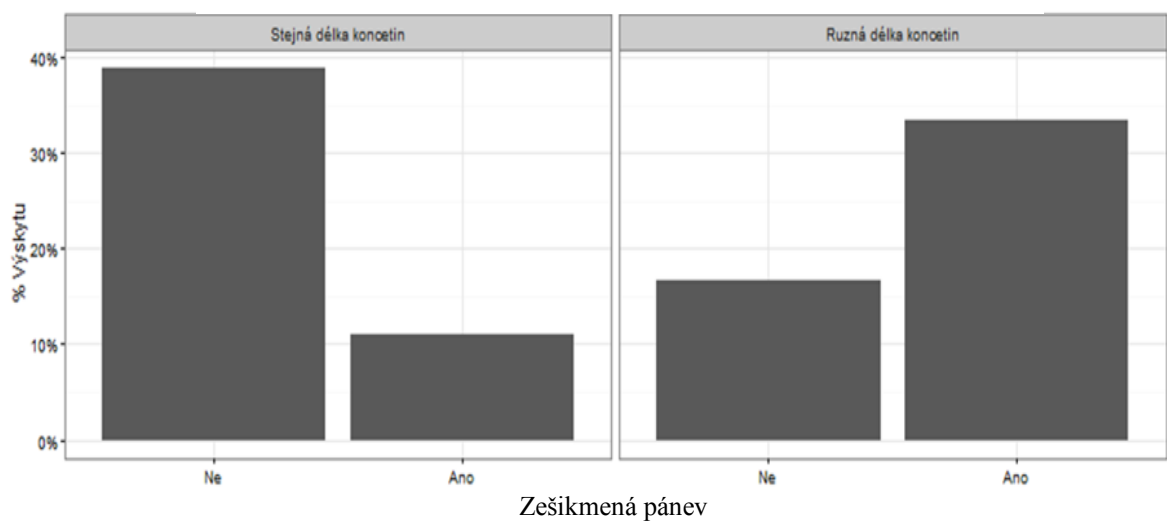
Zešikmení pánve v závislosti na rozdílu v anatomické délce



Graf 7. Zešikmení pánve v závislosti na rozdílu v anatomické délce DKK

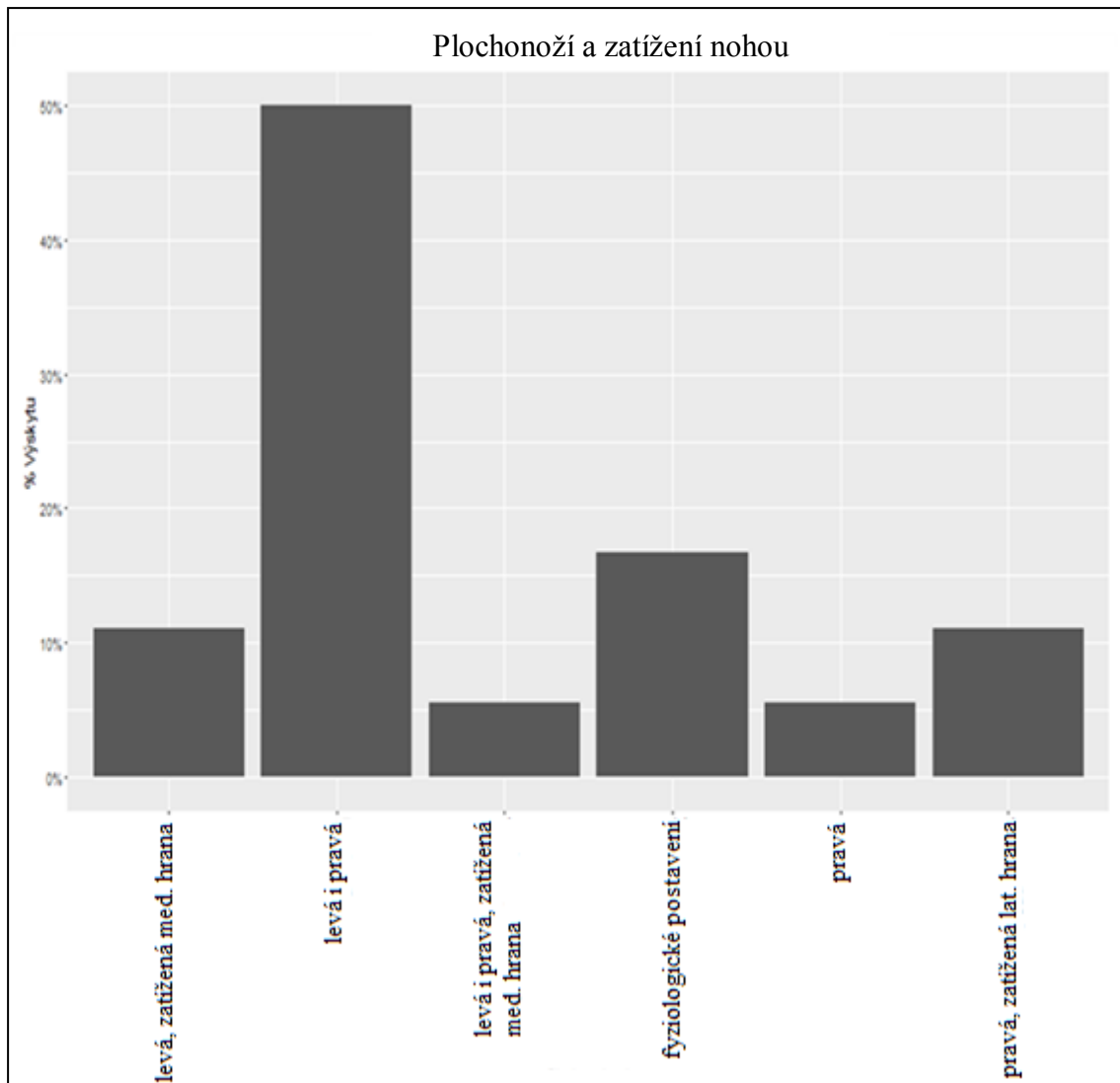
Příloha č.4: Zešikmení pánve v závislosti na rozdílu ve funkční délce DKK

Zešikmení pánve v závislosti na rozdílu ve funkční délce DKK



Graf 8. Zešikmení pánve v závislosti na rozdílu ve funkční délce DKK

Příloha č.5: Výskyt plochonoží a různého zatížení nohou



Graf 9. Plochonoží a zatížení nohou

Příloha č.6: Zkrácené výsledky klinického vyšetření 1.část

Pacient	Pohlaví	věk	výška (cm)	váha (kg)	další deformity	dědičný výskyt	operace (skoliozy)	RHB už jako kojenec/batole (predlecke hlavy k 1 straně)	záchyť	gibbus	kompensovaná
1	žena	11 let	145	41	ne	ano	ne	ano - Vojta - kyčle	v 9 letech	ano	ne
2	žena	13 let	164	50	ne	ano	ne	ano - kyčle	v 8 letech	ano	ne
3	žena	13 let	159	54	ne	ne	ne	ano - Vojta (predlecke hlavy k 1 straně)	v 8 letech	ano	ne
4	muž	16 let	176	67	ne	ne	ne	ne	v 15 letech	ne	ne
5	žena	15 let	168	56	ne	ne	ano	ne	v 10 letech	ano	ne
6	žena	13 let	160	55	ne	ne	ne	ne	ve 12 letech	ne	ne
7	žena	13 let	162	50	ne	ne	ne	ne	v 8 letech	ano	ne
8	žena	17 let	181	66	ne	ano	ne	ano - subluxace kyčlí	ve 12 letech	ano	ne
9	žena	16 let	162	49	ne	ne	ne	ano - Vojta - hypotomie	v 11 letech	ano	ano
10	žena	15 let	165	57	ne	ano	ne	ne	ve 13 letech	ano	ne
11	žena	13 let	167	51	ne	ne	ne	ano - Vojta - opožděný vývoj	ve 13 letech	ne	ano
12	žena	12 let	149	51	ne	ano	ne	ano - Vojta (torticollis??)	v 11 letech	ano	ne
13	žena	14 let	169	67	ne	ne	ne	ne	ve 13 letech	ano	ne
14	žena	14 let	165	40	ne	ne	ne	ano - Vojta - predlecke	v 5 letech	ano	ne
15	žena	11 let	141	38	ne	ne	ne	ne	v 8 letech	ano	ne
16	žena	16 let	161	55	ne	ano	ne	ne	v 6 letech	ano	ne
17	žena	15 let	157	42	ne	ne	ne	ne	v 11 letech	ano	ne
18	žena	13 let	156	44	ne	ne	ne	ano - Vojta (zpomalený vývoj vzpřímovacích mechanismů)	v 5 letech	ano	ne

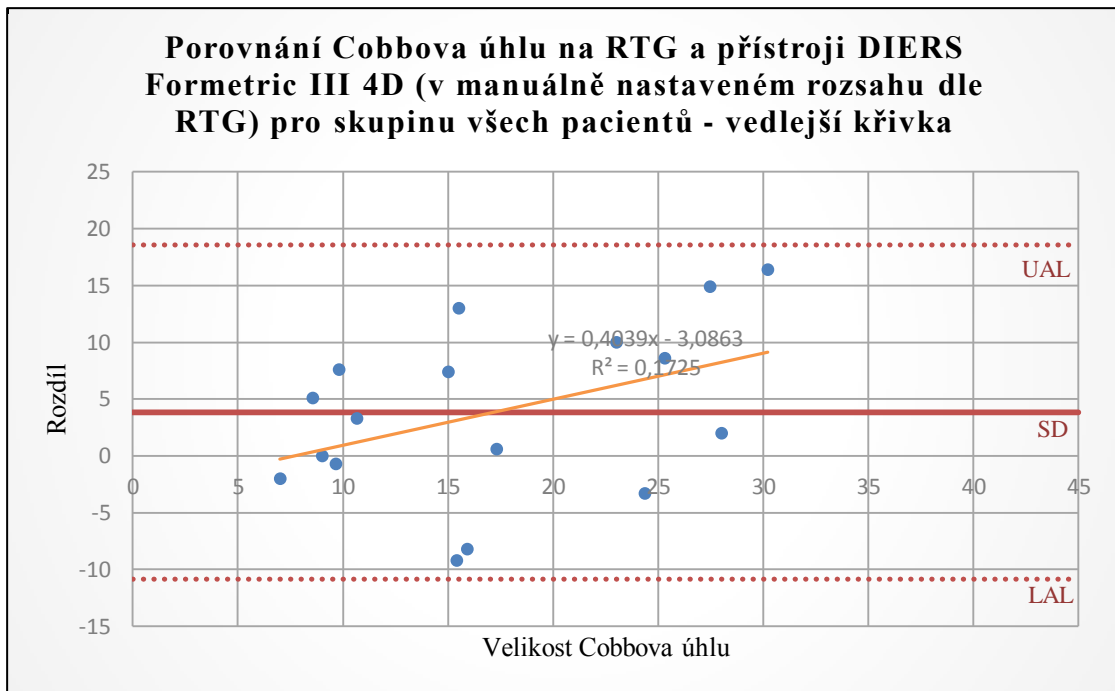
Tabulka 6. Zkrácené výsledky klinického vyšetření 1.část

Příloha č.7: Zkrácené výsledky klinického vyšetření 2.část

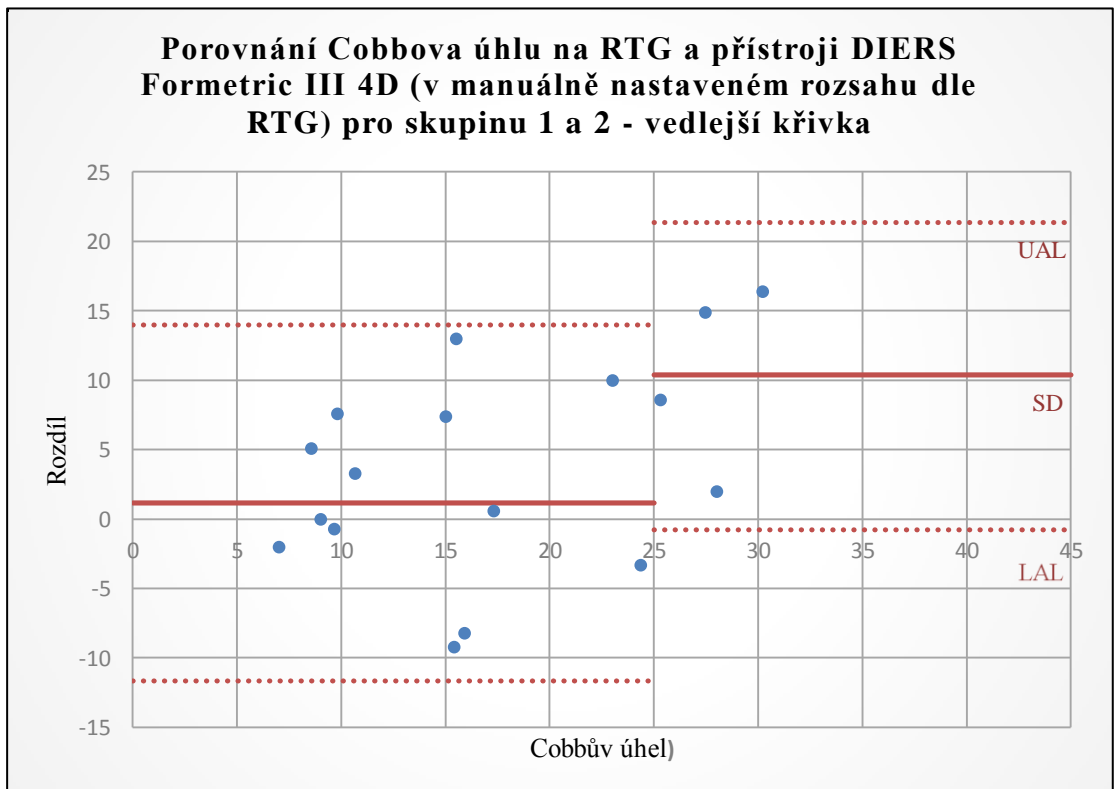
Pacient	olovnice zadní	olovnice boční	Thomayer	Stibor stoj (cm)	Stibor flexe (cm)	Stibor rozdíl (cm)	rozdíl v %	Schober	lateroflexe	hypermobilita
1	linie od C7 protíná interglut. rýhu (když šliff trupu a rotovaná pánev), dopad mezi patami o 1 cm blíž PDK	předsun hlavy, zvukovod cca 2cm anteriorně	15 cm nad zem	37	41	4	10,81	(5 cm nad) 7 cm (10 cm nad) 13 cm	L - výrazný šliff trupu a výraz. zalomení tajle	0 / 9 ne
2	interglut. rýha cca 1 cm vlevo od olovnice	zvukovod 2 cm anteriorně	15 cm nad zem	38	45	7	18,42	(5 cm nad) 7 cm (10 cm nad) 13 cm	P - menší rozvíjení a rozsah L - s rotací páneve vpravo	4 / 9 ano
3	interglut. rýha cca 1 cm vpravo od olovnice	2 cm před ramenem	20 cm nad zem	40	51	11	27,50	(5 cm nad) 10 cm (10 cm nad) 16 cm		0 / 9 ne
4	C7 1 cm vpravo		20 cm nad zem	53	64	11	20,75	(10 cm nad) 14,5 cm		0 / 9 ne
5	interglut. rýha 2 cm vpravo, mezi patami 2 cm více vlevo		ke kolenům	43	51,5	8,5	19,77	(10 cm nad) 14 cm	P - menší rozvíjení a rozsah	4 / 9 ano
6	interglut. rýha a dopad mezi patami vlevo	předsun hlavy, rameno nůrně dorsálně od olovnice	10 cm nad zem	45	56	11	24,44	(10 cm nad) 14,5 cm		0 / 9 ne
7	interglut. rýha 2 cm vlevo od olovnice, dopad mezi patami o 2 cm víc vlevo		15 cm nad zem	46	53	6	13,04	(10 cm nad) 14 cm	P - menší rozvíjení a rozsah	0 / 9 ne
8	interglut rýha 0,5-1cm vpravo	zvukovod 2 cm anteriorně	dotek na zem	43	51	8	18,60	(10 cm nad) 14 cm		2 / 9 ne
9	interglut. rýha 1 cm vpravo	zvukovod 2 cm anteriorně, kyčel 3 cm anteriorně	10 cm nad zem	40,5	48	7,5	18,52	(10 cm nad) 13,5 cm	L - s rotací vlevo	2 / 9 ne
10	C7 o 2 cm vlevo	zvukovod 2 cm anteriorně	prsty na zem	41	47	6	14,63	(10 cm nad) 14 cm	P - menší rozvíjení a rozsah	0 / 9 ne
11			10 cm nad zem	43	53,5	10,5	24,42	(10 cm nad) 15,5 cm	P - menší rozvíjení a rozsah	4 / 9 ano
12	dopad cca o 1 cm blíž k LDK	zvukovod 2 cm anteriorně	20 cm nad zem	37	40,5	3,5	9,46	(5 cm nad) 7 cm (10 cm nad) 13,5 cm	L - menší rozvíjení a rozsah, s rotací trupu vlevo	2 / 9 ne
13	interglut. rýha 1,5 cm vpravo od olovnice, dopad mezi patami o 1 cm víc vlevo		dotek na zem			10		(10 cm nad) 16 cm	P - menší rozvíjení a rozsah	2 / 9 ne
14	interglut. rýha 2 cm vpravo od olovnice, dopad mezi patami 2 cm více vpravo		5 cm nad zem	44	52	8	18,18	(10 cm nad) 14 cm	P - menší rozvíjení a rozsah	0 / 9 ne
15	interglut. rýha 2 cm vlevo od olovnice, dopad mezi patami o 2 cm víc vpravo	zvukovod 2 cm anteriorně	dotek na zem	35	42	7	20,00	(10 cm nad) 14 cm	L - menší rozvíjení a rozsah	0 / 9 ne
16	interglut. rýha 4 cm vpravo od olovnice, dopad mezi patami 4 cm víc vpravo		10 cm nad zem	40	48	8	20,00	(10 cm nad) 13,5 cm	L - menší rozvíjení a rozsah	0 / 9 ne
17	interglut. rýha 1 cm vlevo od olovnice	zvukovod 2 cm anteriorně	dotek na zem	44,5	52	7,5	16,85	(10 cm nad) 14 cm	L - menší rozvíjení a rozsah	0 / 9 ne
18	interglut. rýha 1 cm vlevo od olovnice	zvukovod 2 cm anteriorně	5 cm nad zem	41	50	9	21,95	(10 cm nad) 14 cm	L - menší rozvíjení	4 / 9 ano

Tabulka 7. Zkrácené výsledky klinického vyšetření 2. část

Příloha č. 8: Porovnání Cobbova úhlu na RTG a přístroji DIERS Formetric III 4D (v manuálně nastaveném rozsahu dle RTG) pro skupinu všech pacientů i pro skupinu 1 a 2 - stanovení pro vedlejší křivku

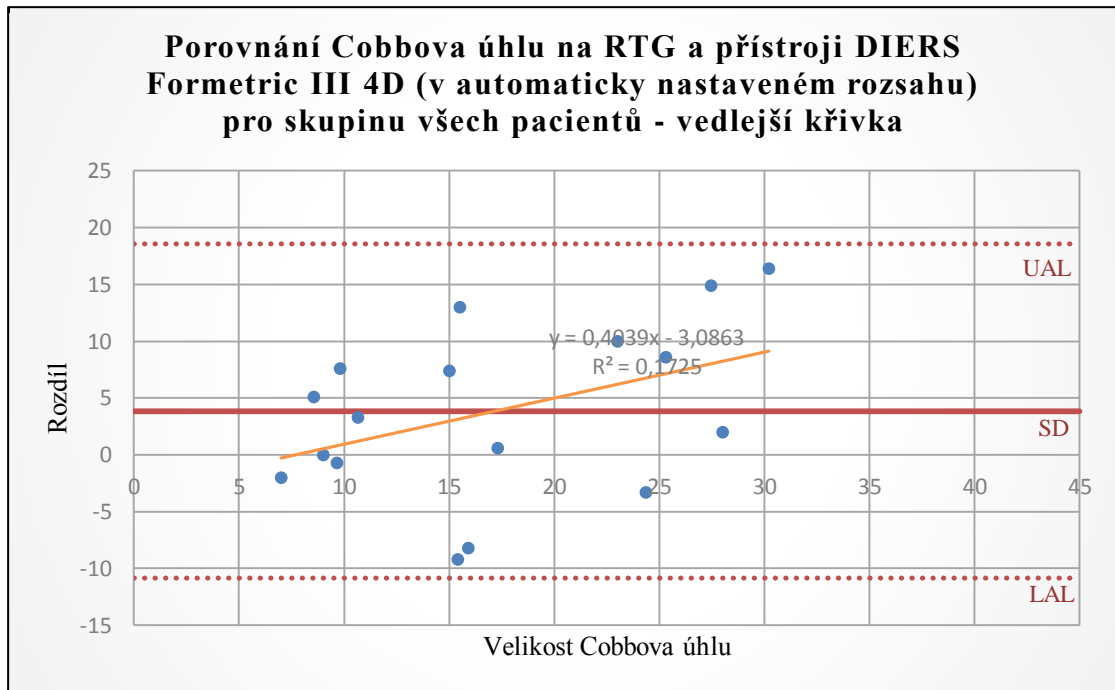


Graf 10. Porovnání Cobbova úhlu na RTG a Formetric III 4D (manuálně nastavený rozsah) pro skupinu všech pacientů - vedlejší křivka (přímka pouze pro účely vizualizace)

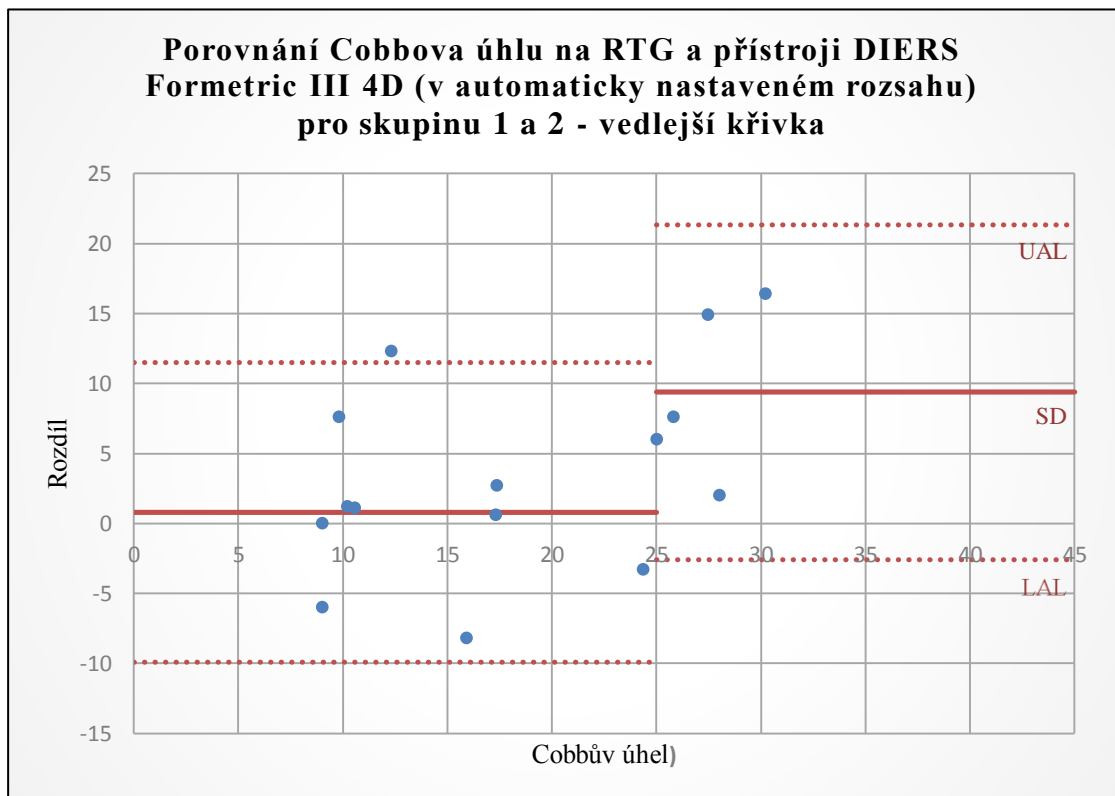


Graf 11. Porovnání Cobbova úhlu na RTG a Formetric III 4D (manuálně nastavený rozsah) pro skupinu všech pacientů - vedlejší křivka

Příloha č. 9: Porovnání Cobbova úhlu na RTG a přístroji DIERS Formetric III 4D (v automaticky nastaveném rozsahu) pro skupinu všech pacientů i pro skupinu 1 a 2 - stanovení pro vedlejší křivku



Graf 12. Porovnání Cobbova úhlu na RTG a Formetric III 4D (automatický rozsah) pro skupinu všech pacientů - vedlejší křivka (přímka pouze pro účely vizualizace)



Graf 13. Porovnání Cobbova úhlu na RTG a Formetric III 4D (automatický rozsah) pro skupinu všech pacientů - vedlejší křivka

Příloha č. 10: Výsledky měření Cobbova úhlu na RTG [°]

Pacient	hlavní křivka	RTG Cobb hlavní křivka	RTG Cobb hl.křivka - SCODIAC	rozdíl	vedlejší křivka	RTG Cobb vedlejší křivka	RTG Cobb vedlejší SCODIAC	rozdíl
1	Th3 - L1 (dx)	24	25,7	-1,7	L1 - L4 (sin)	15	13,6	1,4
2	Th6 - L1 (dx)	48	43,3	4,7	Th1 - Th6 (sin)	39	38,4	0,6
3	Th5 - Th11 (dx)	13	12,8	0,2	L1 - L4 (sin)	10	11,8	-1,8
4	Th7 - Th12 (sin)	14	12,9	1,1	Th12 - L3 (dx)	6	6	0
5	Th5 - Th10 (dx)	35	40,1	-5,1	Th10 - L4 (sin)	20	22	-2
7	Th4 - Th12 (dx)	35	32,5	2,5	Th12 - L4 (sin)	31	29,6	1,4
8	Th4 - Th9 (dx)	12	14,1	-2,1	Th9 - L2 (sin)	10	12,3	-2,3
9	Th5 - Th12 (dx)	20	17,4	2,6	Th12 - L4 (sin)	13	17,6	-4,6
10	Th5 - Th11 (dx)	x	33,6	x	Th11 - L4 (sin)	x	29	x
11	Th5 - Th12 (dx)	12	11,4	0,6	Th12 - L5 (sin)	10	9,3	0,7
12	Th4 - Th10 (dx)	x	46	x	Th10 - L4 (sin)	x	28	x
13	Th6 - Th11 (dx)	24	24,4	-0,4	Th11 - L4 (sin)	20	18,7	1,3
14	Th5 - Th12 (dx)	35	37,2	-2,2	Th12 - L4 (sin)	33	34,9	-1,9
15	Th7 - L1 (dx)	23	21,5	1,5	L1 - L4 (sin)	8	9	-1
16	Th4 - Th9 (dx)	18	17,7	0,3	Th9 - L3 (sin)	12	11,1	0,9
17	Th2 - Th8 (sin)	20	23,2	-3,2	Th8 - L2 (dx)	22	22,7	-0,7
18	Th6 - Th11 (dx)	15	14,2	0,8	Th11 - L4 (sin)	10	10,8	-0,8

Tabulka 8. Měření Cobbova úhlu z RTG [°] (popis RTG a měření pomocí programu SCODIAC)

Příloha č. 11: Výsledky měření Cobbova úhlu na RTG a přístroji DIERS Formetric III 4D [°]

Pacient	Formetric static rozsah hlavní křivka	s shoda hlavní křivky RTG a Formetric static	rozdíl rozsahu hlavní křivky RTG a Formetric static (horní a spodní hranice křivky)	Formetric static Cobb hlavní křivka v rozsahu dle RTG	Formetric static Cobb hlavní křivka	Formetric static Cobb hlavní křivka	rozdíl Cobb hlavní křivka RTG a Formetric static dle automat. rozsahu	Formetric static Cobb hlavní křivka dle automat. rozsahu	Formetric static Cobb hlavní křivka dle automat. rozsahu	shoda rozsahu vedlejší křivky RTG a Formetric static	rozdíl rozsahu vedlejší křivky RTG a Formetric static (horní a spodní hranice křivky)	rozdíl Cobb vedlejší křivka RTG a Formetric static dle RTG	rozdíl Cobb vedlejší křivka RTG a Formetric static dle automat. rozsahu
1	Th4 - L1 (dx)	ne	-1; 0	28	34	-2,3	-8,3	L1 - L4 (sin)	6	ano	0; 0	7,6	7,6
2	Th6 - L1 (dx)	ano	0; 0	21	21	22,3	22,3	Th1 - Th6	22	ano	0; 0	16,4	16,4
3	Th6 - Th10 (dx)	ne	-1; +1	6	15	6,8	-2,2	L1 - L4 (sin)	20	ano	0; 0	-8,2	-8,2
4	Th6 - L1 (sin)	ne	+1; +1	8	14	4,9	-1,1	L1 - L4 (dx)	8	ne	+1; +1	-2	-6
5	x	x	x	21	x	19,1	x	x	9	x	x	13	x
7	Th5 - Th11 (dx)	ne	+1; -1	28	30	4,5	2,5	Th11 - L4	21	ne	+1; 0	8,6	7,6
8	Th4 - Th9 (dx)	ano	0; 0	15	15	-0,9	-0,9	x	9	x	x	3,3	x
9	Th4 - Th12 (dx)	ne	+1; 0	14	15	3,4	2,4	Th12 - L4	17	ano	0; 0	0,6	0,6
10	Th4 - Th11 (dx)	ne	+1; 0	31	38	2,6	-4,4	Th11 - L4	27	ano	0; 0	2	2
11	Th3 - Th12 (dx)	ne	+2; 0	11	13	0,4	-1,6	Th12 - L4	10	ne	0; -1	-0,7	x
12	Th4 - Th12 (dx)	ne	0; +2	31	36	15	10	Th12 - L4	18	ne	x	10	6
13	Th6 - Th12 (dx)	ne	0; +1	19	22	5,4	2,4	L1 - L4 (sin)	11,3	ne	-2; 0	7,4	2,7
14	Th6 - Th12 (dx)	ne	-1; 0	29	32	8,2	5,2	Th12 - L4	20	ano	0; 0	14,9	14,9
15	Th8 - L1 (dx)	ne	-1; 0	15	19	6,5	2,5	L1 - L4 (sin)	9	ano	0; 0	0	0
16	Th4 - Th9 (dx)	ano	0; 0	18	18	-0,3	-0,3	Th11 - L4	6	ne	-2; +1	5,1	1,1
17	Th2 - Th7 (sin)	ne	0; +1	24	25	-0,8	-1,8	Th8 - L2 (dx)	26	ano	0; 0	-3,3	-3,3
18	Th5 - Th11 (dx)	ne	+1; 0	14	17	0,2	-2,8	Th11 - L2	20	ne	0; -2	-9,2	1,2

Tabulka 9. Měření Cobbova úhlu na RTG a přístroji DIERS Formetric III 4D [°]